

## เทคนิคการวัดสภาพยอมสัมพัทธ์เชิงช้อน

### Complex Relative Permittivity Measurement Techniques

นวรัตน์ พิลาแดง<sup>1\*</sup>, นิวัติ์ อังคิวิษฐ์พันธ์<sup>1</sup>

Nawarat Piladaeng<sup>1\*</sup>, Niwat Angkawisitpan<sup>1</sup>

Received: 9 August 2018 ; Revised : 11 December 2018 ; Accepted: 20 February 2019

#### บทคัดย่อ

บทความนี้นำเสนอการทบทวนเทคนิคที่ใช้ในการวัดสภาพยอมสัมพัทธ์เชิงช้อนของวัสดุ รวมไปถึงการอธิบายสมบัติพื้นฐานบางประการเพื่อให้เข้าใจหลักการในการวัดสภาพยอมสัมพัทธ์เชิงช้อนของวัสดุ โดยเทคนิคที่ได้กล่าวถึงในการวัดสภาพยอมสัมพัทธ์ เชิงช้อนของวัสดุในบทความนี้มีทั้งหมด 6 เทคนิค ประกอบด้วย เทคนิคสายส่งแบบปลายเปิด เทคนิคสายส่งแบบท่อนำคลื่นและแบบแกนร่วม เทคนิคการส่งผ่านอวากาศว่าง เทคนิคสายส่งแบบระหว่าง วิธีเรโซเนเตอร์ และวิธีการรับกวนแบบเรโซแนนซ์ อีกทั้งยังได้กล่าวถึงข้อดีและข้อเสียของแต่ละเทคนิค และการนำไปใช้ต่างๆ ไปประยุกต์ใช้งานอีกด้วย

**คำสำคัญ:** สภาพยอมสัมพัทธ์เชิงช้อน สายส่งแกนร่วมแบบปลายเปิด สายส่งแบบท่อนำคลื่นและแบบแกนร่วม การส่งผ่านอวากาศว่าง สายส่งแบบระหว่าง เรโซเนเตอร์ การรับกวนแบบเรโซแนนซ์

#### Abstract

This article presents a review of the techniques for measuring complex relative permittivity and also explains basic properties for understanding the principle of complex relative permittivity measurement. There are 6 measurement techniques mentioned in this article. These techniques consist of open-ended transmission line techniques, waveguide and coaxial transmission line techniques, free space transmission techniques, planar transmission line techniques, resonator method and resonant-perturbation method. In addition, the advantages, disadvantages and applications of these measurement techniques are discussed.

**Keywords:** complex relative permittivity, open-ended transmission line, waveguide and coaxial transmission line, free space transmission, planar transmission line, resonator, resonant-perturbation.

#### บทนำ

สภาพนำ (conductivity) สภาพยอมสัมพัทธ์เชิงช้อน (complex relative permittivity) และความซึมซึมได้ (permeability) เป็นพารามิเตอร์พื้นฐานสำหรับการศึกษาและการสร้างแบบจำลองเพื่อให้เข้าใจสมบัติและพฤติกรรมของวัสดุ และเป็นค่าที่ขึ้นอยู่กับปัจจัยหลายอย่าง เช่น อุณหภูมิ ความชื้น และความถี่ของสนามแม่เหล็กไฟฟ้า เป็นต้น แม้ว่าวัสดุจำนวนมากสามารถทราบค่าของพารามิเตอร์เหล่านี้ได้จากตารางที่มีอยู่ แต่การทดลองเพื่อหาค่าของพารามิเตอร์เหล่านี้ยังคงมีความจำเป็นอย่างมาก โดยการวิจัยเกี่ยวกับสมบัติและพฤติกรรม

ของวัสดุมีความสำคัญมากในด้านอุตสาหกรรม การแพทย์ การเกษตร หรือแม้แต่ในการทดลอง เพราะไม่ใช่เพียงการค้นคว้าเพื่อให้รู้สมบัติของวัสดุ แต่ยังสามารถสร้างวัสดุใหม่ ๆ และนำไปประยุกต์ใช้ในงานด้านต่าง ๆ โดยส่วนใหญ่การวัดค่าของพารามิเตอร์ดังกล่าวจะใช้อันตรกิริยา (interaction) ระหว่างสนามแม่เหล็กไฟฟ้ากับวัสดุที่ทำการศึกษา<sup>1,2</sup>

นักวิจัยหลายท่านได้ทำการวัดสภาพยอมสัมพัทธ์ เชิงช้อนในงานด้านต่าง ๆ เช่น อุตสาหกรรมอาหารและการเกษตร<sup>3-5</sup> การแพทย์<sup>6,7</sup> อุตสาหกรรมการสื่อสาร<sup>8,9</sup> เป็นต้น ซึ่งเทคนิคที่ใช้ในการวัดสภาพยอมสัมพัทธ์เชิงช้อนนั้นมีด้วย

<sup>1</sup> หน่วยวิจัยแม่เหล็กไฟฟ้าเชิงค้นหาและระบบเชิงแสง คณะวิศวกรรมศาสตร์ มหาวิทยาลัยมหาสารคาม อ.กันทรริชัย จ.มหาสารคาม 44150

<sup>1</sup> Computational Electromagnetics and Optical Systems Research Unit, Faculty of Engineering, Mahasarakham University, Kantarawichai, Mahasarakham 44150

Tel : 0-4375-4316 E-mail: nawarat.p@msu.ac.th.

กันหลายเทคนิคแต่กันออกไป ขึ้นอยู่กับปัจจัยหลายอย่าง เช่น งานที่จะนำໄไปประยุกต์ใช้ รูร์มชาติของวัสดุที่ต้องการตรวจวัด ความถี่ที่ใช้ในการวัด ต้องการทดสอบแบบทำลายหรือไม่ทำลายวัสดุ หรือแม้กระทั่งความถูกต้องแม่นยำของค่าที่วัดได้ เป็นต้น โดยทั่วไปเทคนิคที่ใช้ในการวัดอาศัยหลักการพื้นฐานในการวัดที่แตกต่างกัน เช่น หลักการของการสะท้อนและการส่งผ่าน (reflection and transmission) หรือหลักการไม่เรโซแนนซ์ (non-resonant) หลักการเรโซแนนซ์ (resonant) หรือหลักการของการตรวจวัดแบบทำลายและไม่ทำลายวัสดุ (destructive and non-destructive) เป็นต้น<sup>1,2</sup> หลักการของการสะท้อนและการส่งผ่านหรือหลักการไม่เรโซแนนซ์ คลื่นแม่เหล็กไฟฟ้าจะถูกส่งไปที่วัสดุทดสอบ และจะเก็บค่าที่ถูกสะท้อนจากวัสดุและค่าที่ส่งผ่านวัสดุออกไป ซึ่งข้อมูลเหล่านี้ทำให้สามารถทราบ สภาพยอมสัมพัทธ์เชิงช้อนของวัสดุได้<sup>10</sup> หลักการเรโซแนนซ์ อาศัยการเกิดไอดิเล็กตริกเรโซเนเตอร์ (dielectric resonator) และวงจรเรโซแนนซ์ที่ทำให้ค่าของความถี่เรโซแนนซ์ (resonant frequency) และตัวประกอบคุณภาพ (quality factor) มีการเปลี่ยนแปลงในการหาสภาพยอมสัมพัทธ์เชิงช้อน<sup>11</sup> ส่วนหลักการของการตรวจวัดแบบทำลายและไม่ทำลายวัสดุ อาศัยการเปลี่ยนแปลงสมบัติ คุณภาพ โครงสร้าง รูปร่าง และขนาดของวัสดุที่ทำการทดสอบ หากมีการเปลี่ยนแปลงวัสดุดังที่กล่าวมา เรียกว่า การตรวจสอบแบบทำลาย แต่หากวัสดุไม่มีการเปลี่ยนแปลงดังที่กล่าวมา เรียกว่า การตรวจสอบแบบไม่ทำลาย<sup>12</sup>

งานวิจัยที่เกี่ยวข้องกับวิธีการวัดสภาพยอมสัมพัทธ์เชิงช้อนนั้นมีอยู่จำนวนมาก หากจะนำมาล่าว่าทั้งหมดอาจจะทำให้ศึกษารายละเอียดได้ไม่มากนัก ดังนั้นบทความนี้จึงขอกล่าวเฉพาะเทคโนโลยีการวัดสภาพยอมสัมพัทธ์เชิงช้อนบางเทคนิค ที่เน้นหลักการของการสะท้อนและการส่งผ่าน (reflection and transmission) หรือหลักการไม่เรโซแนนซ์ (non-resonant) และหลักการเรโซแนนซ์ (resonant) เท่านั้น

บทความนี้มีวัตถุประสงค์เพื่อทบทวนงานวิจัยที่เกี่ยวข้องกับเทคนิคการวัดสภาพยอมสัมพัทธ์เชิงช้อน โดยแบ่งเทคนิคเหล่านั้นออกเป็น 2 วิธี ตามหลักการที่ใช้ โดยแต่ละเทคนิคจะกล่าวถึงวิธีการในการวัด ลักษณะทางกายภาพของวัสดุทดสอบที่เหมาะสมในการวัดแต่ละเทคนิค ข้อดีและข้อเสียของแต่ละเทคนิค พร้อมทั้งยกตัวอย่างการนำไปประยุกต์ใช้งาน

### สมบัติพื้นฐานของเทคนิคการวัดสภาพยอมสัมพัทธ์เชิงช้อน

ผู้อ่านควรเข้าใจสมบัติพื้นฐานบางประการ เพื่อให้เข้าใจหลักการในการวิเคราะห์เทคนิคการวัดสภาพยอมสัมพัทธ์

เชิงช้อน สมบัติพื้นฐานดังกล่าว เช่น ทฤษฎีของไอดิเล็กตริก (dielectric theory) พารามิเตอร์แบบกระจักระจาด (scattering parameters) สภาพนำ (conductivity) และความสัมพันธ์ของเดบาย (Debye relation)

#### 1. ทฤษฎีของไอดิเล็กตริก

สภาพยอมของไอดิเล็กตริก (dielectric permittivity) คือ ค่าที่อธิบายสมบัติของไอดิเล็กตริกที่มีอิทธิพลต่อการสะท้อนของคลื่นแม่เหล็กไฟฟ้าที่พื้นผิวสัมผัสและการลดทอนของพลังงานของคลื่นในวัสดุ ในโดเมนความถี่สภาพยอมสัมพัทธ์เชิงช้อน (complex relative permittivity:  $\epsilon_r$ ) ของวัสดุแสดงตามสมการต่อไปนี้<sup>13</sup>

$$\epsilon_r = \epsilon'_r - j\epsilon''_r \quad (1)$$

เมื่อ  $\epsilon'_r$  คือ ส่วนจริงของสภาพยอมสัมพัทธ์เชิงช้อน หรือเรียกว่าค่าคงตัวไอดิเล็กตริก (dielectric constant) เป็นค่าที่แสดงพลังงานที่ถูกเก็บไว้ในวัสดุ อันเนื่องมาจากสนามไฟฟ้าภายในออก<sup>13,14</sup>

$\epsilon''_r$  คือ ส่วนจินตภาพของสภาพยอมสัมพัทธ์เชิงช้อน หรือเรียกว่า ตัวประกอบการสูญเสียของ ไอดิเล็กตริก (dielectric loss factor) เป็นค่าที่แสดงการสูญเสียของวัสดุ เนื่องจากสนามไฟฟ้าภายในออก<sup>13,14</sup>

โดยทั่วไปแล้วส่วนจินตภาพของสภาพยอมสัมพัทธ์เชิงช้อนจะมีค่ามากกว่าศูนย์ และมีค่าน้อยกว่าส่วนจริงของสภาพยอมสัมพัทธ์เชิงช้อน ( $\epsilon'_r > \epsilon''_r > 0$ )<sup>14</sup>

เมื่อเขียนสภาพยอมสัมพัทธ์เชิงช้อนในรูปแบบเวกเตอร์ โดยส่วนจริงกับส่วนจินตภาพทำมุม  $90^\circ$  และมุม ( $\delta$ ) วัดจากแกนของส่วนจริงกับเวกเตอร์ลัพธ์<sup>14</sup> ดังแสดงใน Figure 1

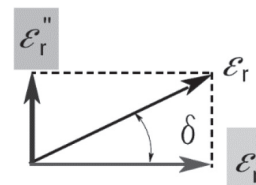


Figure 1 Loss tangent vector diagram<sup>14</sup>

ค่าการสูญเสียของวัสดุ หรือแทนเจนต์การสูญเสีย (loss tangent:  $\tan \delta$ ) คือ อัตราส่วนพลังงานที่สูญเสียต่อพลังงานที่ถูกเก็บไว้ในวัสดุ ดังแสดงในสมการต่อไปนี้

$$\tan \delta = \frac{\epsilon''_r}{\epsilon'_r} = D = \frac{1}{Q} \quad (2)$$

เมื่อ  $D$  คือ ตัวประกอบการสูญเสียเป็นความร้อน (dissipation factor)

$Q$  คือ ตัวประกอบคุณภาพ (quality factor: Q-factor)<sup>14</sup>

## 2. พารามิเตอร์แบบกระจักระจาย

การวัดสภาพย้อมสัมพัทธ์เชิงช้อน โดยที่นำไปนิยมใช้การวิเคราะห์โครงข่ายแบบหนึ่งช่องทาง (one-port network) และแบบสองช่องทาง (two-port network) ขึ้นอยู่กับเทคนิคที่นำมาใช้ โดยการวิเคราะห์โครงข่ายดังกล่าวเป็นการคำนวณหาค่าของพารามิเตอร์แบบกระจักระจาย (S parameters) ในรูปแบบของความสัมพันธ์ระหว่างกระแสและแรงดันที่ช่องทางที่ 1 และช่องทางที่ 2 พารามิเตอร์แบบกระจักระจายที่มีความสำคัญต่อการวัดสภาพย้อมสัมพัทธ์เชิงช้อน เช่น  $S_{11}$  และ  $S_{21}$ <sup>15</sup>

$S_{11}$  คือ สัมประสิทธิ์การสะท้อน (reflection coefficients) เป็นค่าที่แสดงกำลังงานที่สะท้อนจากวัสดุทดสอบของแต่ละความถี่ว่ามีค่ามากน้อยเพียงใด<sup>16</sup>

$S_{21}$  คือ สัมประสิทธิ์การส่งผ่านไปหน้า (forward transmission coefficients) เป็นกำลังงานที่สามารถส่งผ่านวัสดุทดสอบของแต่ละความถี่ว่ามีการส่งผ่านออกไปมากน้อยเพียงใด<sup>16</sup>

งานวิจัยที่เกี่ยวข้องกับเทคนิคการวัดสภาพย้อมสัมพัทธ์เชิงช้อน ส่วนใหญ่จะแสดงผลของ  $S_{11}$  และ  $S_{21}$  ในรูปแบบค่าสมบูรณ์ เพื่อนำค่าที่ได้ไปใช้ในการคำนวณหาสภาพย้อมสัมพัทธ์เชิงช้อนต่อไป

## 3. สภาพนำ

สภาพนำ (conductivity:  $\sigma$ ) เป็นค่าที่บ่งบอกสมบัติการนำไฟฟ้าของวัสดุแต่ละชนิด สภาพนำมีหน่วยเป็นซีเมนต์ต่อมเมตร ( $S/m$ ) โดยที่ไปสภาพนำของวัสดุขึ้นอยู่กับอุณหภูมิและความถี่ของคลื่นแม่เหล็กไฟฟ้า วัสดุที่มีสภาพนำสูง ( $\sigma >> 1$ ) เรียกว่า ตัวนำ (conductor) หรือ โลหะ (metal) วัสดุที่มีสภาพนำต่ำ ( $\sigma << 1$ ) เรียกว่า ฉนวน (insulator) หรือ ไดอิเล็กตริก (dielectric) และวัสดุที่มีสภาพนำอยู่กึ่งกลางระหว่างโลหะกับฉนวน เรียกว่า สารกึ่งตัวนำ (semiconductor)<sup>16</sup>

## 4. ความสัมพันธ์เดบาย

ความสัมพันธ์เดบาย (Debye relation) เป็นแบบจำลองที่แสดงความสัมพันธ์ระหว่างสภาพย้อมสัมพัทธ์เชิงช้อน และความถี่ เมื่อวัสดุที่ใช้แสดงเวลาผ่อนคลาย 1 ค่า ตัวอย่าง กราฟแสดงความสัมพันธ์เดบายของน้ำที่อุณหภูมิ  $30^{\circ}\text{C}$ <sup>14</sup> แสดงใน Figure 2

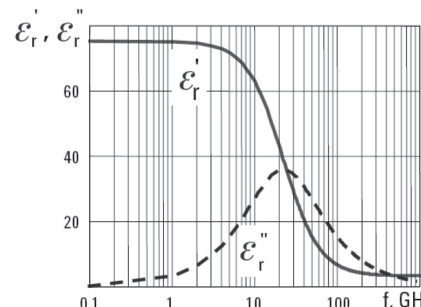


Figure 2 Debye relation of water at  $30^{\circ}\text{C}$ <sup>14</sup>

สมการเดบาย (Debye equation) มีค่าดังนี้<sup>14</sup>

$$\epsilon_r = \epsilon_r(\omega) = \epsilon_\infty + \frac{\epsilon_s - \epsilon_\infty}{1 + j\omega\tau} \quad (3)$$

เมื่อ  $\omega = 0, \epsilon_r(0) = \epsilon_s$  และ  $\omega = \infty, \epsilon_r(\infty) = \epsilon_\infty$

$\epsilon_\infty$  คือ ค่าคงตัวไดอิเล็กตริกที่ความถี่อนันต์

$\epsilon_s$  คือ ค่าสถิต (static value) ของค่าคงตัวไดอิเล็กตริก

$\tau$  คือ เวลาผ่อนคลาย

## เทคนิคการวัดสภาพย้อมสัมพัทธ์เชิงช้อน

การวัดสมบัติไดอิเล็กตริกนั้นมีอยู่หลายเทคนิค ผู้เขียนจึงขอแนะนำเฉพาะบางเทคนิคที่พิจารณาตามวิธีไม่เรโซแนนซ์ (non-resonant method) หรือ วิธีการสะท้อนและการส่งผ่าน (reflection and transmission method) และวิธีเรโซแนนซ์ (resonant method)

### 1. วิธีไม่เรโซแนนซ์

สำหรับวิธีไม่เรโซแนนซ์ (non-resonant methods)

นั้นรวมไปถึงวิธีการสะท้อน (reflection methods) และวิธีการสะท้อน/การส่งผ่าน (reflection/transmission methods)<sup>10</sup> โดยวิธีการสะท้อน สมบัติของวัสดุจะหาได้จากการวัดขนาดและเฟสของสัญญาณที่ถูกสะท้อนกลับมา ส่วนวิธีการสะท้อน/การส่งผ่าน สมบัติของวัสดุจะหาได้จากการวัดขนาดและเฟสของหั้งสัญญาณที่ถูกสะท้อนกลับมาและสัญญาณที่ถูกส่งผ่านออกไป ซึ่งเทคนิคที่จะแนะนำมีดังนี้

#### 1.1 เทคนิคสายสั้นแบบปลายเปิด

เทคนิคสายสั้นแบบปลายเปิด (open-ended transmission line techniques) เริ่มใช้ในปี ค.ศ. 1980 โดย Stuchly ซึ่งได้ทำการวัดสมบัติไดอิเล็กตริกของวัสดุชีวภาพ (biological material) ในช่วงความถี่ 50 MHz ถึง 1 GHz โดยใช้พรบแกนร่วมแบบปลายเปิด (coaxial dielectric probe) ขนาดเล็ก<sup>17</sup> หลักการที่นำไปในการตรวจวัดของเทคนิคนี้คือ การนำพรบแกนร่วมแบบปลายเปิดวางแนวกับวัสดุที่ต้องการทดสอบจากนั้นจะทำการวัดขนาดและมุ

เพื่อของสัญญาณที่ถูกสะท้อนกลับด้วยเครื่องวิเคราะห์โครงข่ายและนำค่าที่ได้ไปเข้ากระบวนการคำนวณหาสภาพย้อมสัมพัทธ์เชิงช้อน<sup>18</sup> ถูกแสดงไว้ดัง Figure 3

นักวิจัยหลายท่านได้ทำการพัฒนาและปรับปรุงเทคนิคนี้เรื่อยมา จนทำให้เกิดแบบจำลองทางคณิตศาสตร์ในการสอบเทียบprobawdที่ถูกสร้างขึ้นมา และการคำนวณหาสภาพย้อมสัมพัทธ์เชิงช้อนของวัสดุขึ้นหลายรูปแบบ และprobawgนร่วมแบบปลายเปิดที่ทำการออกแบบบางรูปแบบออกแบบมาให้มีเฉพาะprobawgนร่วมแบบปลายเปิดเพียงอย่างเดียวเพื่อใช้ในการวัด<sup>17, 19, 20</sup> บางรูปแบบออกแบบมาให้มีหัวprobawgนร่วมแบบปลายเปิดและระนาบกรานต์บริเวณปลายprobawg (grounding flange)<sup>21-23</sup> ซึ่งพบว่าprobawgนร่วมแบบปลายเปิดที่มีส่วนของระนาบกรานต์บริเวณปลายprobawg สามารถวัดค่าได้ถูกต้องแม่นยำมากกว่าprobawgที่ไม่มีระนาบดังกล่าว<sup>23</sup> ดังแสดงใน Figure 4

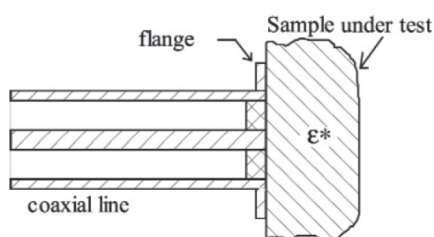


Figure 3 Open-ended transmission line techniques<sup>20</sup>

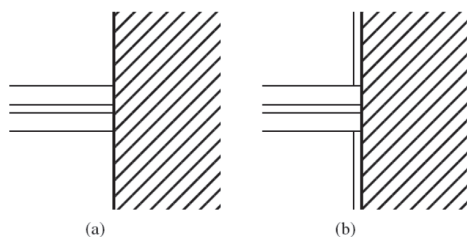


Figure 4 Measurement using open-ended probe (a) without grounding flange (b) with grounding flange<sup>24, 25</sup>

เทคนิคสายส่งแบบปลายเปิดเป็นเทคนิคที่适合ในการวัด เพราะเป็นการตรวจวัดแบบไม่ทำลาย (non-destructive) วัสดุ และไม่ต้องมีการเตรียมตัวอย่างก่อนการตรวจวัด เทคนิคนี้สามารถวัดได้ทั้งวัสดุขนาดเล็กและใหญ่ขึ้นอยู่กับขนาดของprobawgที่ใช้ในการวัด สามารถวัดได้ทั้งวัสดุที่เป็นของเหลว กึ่งของแข็ง หรือของแข็ง ทำงานได้ในช่วงแฉบความถี่กว้าง (0.5 – 110 GHz) probawgที่ใช้ในการวัดสามารถออกแบบเบื้องต้นได้ แต่ค่อนข้างยากโดยเฉพาะขั้นตอนการสอบเทียบเครื่องมือให้ได้มาตรฐานและต้องใช้วัสดุที่ทราบสภาพ

ยอมสัมพัทธ์เชิงช้อนหลายตัวมาใช้ในการสอบเทียบ<sup>17-22</sup> หากไม่ต้องการออกแบบprobawdเองก็สามารถใช้probawtที่ผลิตมาจำหน่าย เช่น DAK – 12 dielectric probe เป็นต้น ซึ่ง probawtจะมีราคาค่อนข้างสูงและมีขนาดเล็ก อาจจะไม่เหมาะสมสำหรับนำไปใช้กับวัสดุที่มีขนาดใหญ่ เทคนิคนี้มีความแม่นยำในการวัดค่อนข้างสูง แต่ต้องระวังในเรื่องของช่วงความถี่ในการทำงาน คือ ที่ความถี่ที่ต่ำมากและสูงมาก และวัสดุที่วัดจะต้องมีค่าตัวประจุของสัญเสียงที่มากกว่า 1 นั้นหมายความว่า เทคนิคนี้เหมาะสมสำหรับวัสดุที่มีการสัญเสียงสูง ส่วนการวัดวัสดุที่มีการสัญเสียงต่ำ เช่น เนยและน้ำมัน เป็นต้น ต้องมีการวัดอย่างระมัดระวัง เพราะอาจเกิดความผิดพลาดได้สูง<sup>18</sup> สิ่งที่จะทำให้เกิดความคลาดเคลื่อนอีกประการคือการวัดของแข็ง หากเกิดช่องว่างระหว่างผิวที่ขรุขระของตัวอย่างกับผิวของprobawg จะทำให้เกิดความคลาดเคลื่อนในการวัดขึ้น<sup>21</sup>

แบบจำลองทางคณิตศาสตร์ในการสอบเทียบprobawdที่ถูกสร้างขึ้นมา และการคำนวณหาสภาพย้อมสัมพัทธ์เชิงช้อนของวัสดุขึ้นหลายรูปแบบ ผู้เขียนจะขอยกตัวอย่างเพียง 1 รูปแบบเพื่อให้เห็นขั้นตอนการคำนวณ ดังนี้ แบบจำลองความจุไฟฟ้า (capacitance model)<sup>25</sup> ดังแสดงใน Figure 5

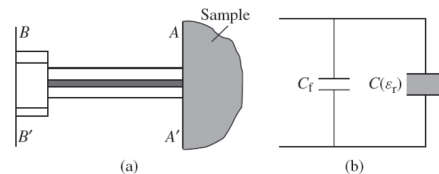


Figure 5 (a) Measurement using open-ended probe (b) equivalent circuit of measurement using open-ended probe<sup>26</sup>

เมื่อทำการวัดวัสดุที่มีสภาพย้อมสัมพัทธ์เชิงช้อน ( $\epsilon_r$ ) ด้วยprobawd จะทำให้วงจรสมมูลมีการเปลี่ยนแปลง และสามารถคำนวณหาสัมประสิทธิ์การสะท้อน ( $\Gamma^*$ ) ได้ดังนี้<sup>25</sup>

$$\Gamma^* = \Gamma e^{j\phi} = \frac{1-j\omega Z_0 \cdot [C(\epsilon_r) + C_f]}{1+j\omega Z_0 \cdot [C(\epsilon_r) + C_f]} \quad (4)$$

เมื่อ  $C(\epsilon_r) = \epsilon_r C_0$   
 $C_0$  คือ ความจุไฟฟ้าวนวนอากาศ  
 $C_f$  คือ ความจุประจุเสริมในวัสดุ  
 $\omega$  คือ ความเร็วเชิงมุมในการวัด  
 $Z_0$  คือ ออมพีเดนซ์คุณลักษณะของสายส่งแกนร่วม ที่ต่อ กับprobawg

และสภาพยอมสัมพัทธ์เชิงช้อน ( $\epsilon_r$ ) คำนวณได้ดังนี้<sup>25</sup>

$$\epsilon_r = \frac{1 - \Gamma^*}{j\omega Z_0 C_0 (1 + \Gamma^*)} - \frac{C_f}{C_0} \quad (5)$$

เมื่อค่า  $C_0$  และ  $C_f$  หาได้จากการวัดตัวอย่างมาตรฐานที่ทราบสภาพยอมสัมพัทธ์เชิงช้อน เช่น น้ำขัด/o/on และ (deionized water) เป็นต้น ดังสมการต่อไปนี้<sup>25</sup>

$$C_0 = \frac{(1 - |\Gamma_{diel}^*|^2)}{\omega Z_0 (1 + 2|\Gamma_{diel}^*| \cos(\Phi_{diel}) + |\Gamma_{diel}^*|^2) \epsilon_{diel}''} \quad (6)$$

$$C_f = \frac{-2|\Gamma_{diel}^*| \sin(\Phi_{diel})}{\omega Z_0 (1 + 2|\Gamma_{diel}^*| \cos(\Phi_{diel}) + |\Gamma_{diel}^*|^2) - \epsilon_{diel}'' C_0} \quad (7)$$

เมื่อ  $\epsilon'_{diel}$  และ  $\epsilon''_{diel}$  คือ ส่วนจริงและส่วนจินตภาพของสภาพยอมสัมพัทธ์เชิงช้อนของตัวอย่างมาตรฐานตามลำดับ

$|\Gamma_{diel}^*|$  และ  $\Phi_{diel}$  คือ ขนาดและเฟสของสัมประสิทธิ์การสะท้อน ( $\Gamma_{diel}^*$ ) ตามลำดับ

## 1.2 เทคนิคสายส่งแบบท่อนำคลื่นและแบบแกนร่วม

เทคนิคสายส่งแบบท่อนำคลื่นและแบบแกนร่วม(waveguide and coaxial transmission line techniques) ดังแสดงใน Figure 6 ถูกกล่าวถึงครั้งแรกในปี ค.ศ.1970 โดย Nicolson – Ross<sup>26</sup> ที่ได้วัดสภาพยอมสัมพัทธ์เชิงช้อนของวัสดุแบบเชิงเส้นในโดเมนความถี่ และในปี ค.ศ. 1993 James B.J. และคณะ<sup>27</sup> ได้กล่าวถึงหลักการและแบบจำลองทางคณิตศาสตร์พื้นฐานของวิธีการวัดแบบการส่งผ่าน/generation/reflection methods) และวิเคราะห์วิธีการวัดสภาพยอมสัมพัทธ์เชิงช้อน เมื่อ Nicolson – Ross<sup>26</sup> และ William B. Weir<sup>28</sup> ที่ได้ปรับปรุงเทคนิคการวัดสมบัติของไดอิเล็กทริกในโดเมนเวลาและความถี่ในปี ค.ศ.1974 ทำการรวมสมการที่ใช้ในงานของพากษา จนนำไปสู่การพัฒนาสมการที่ใช้ในการคำนวณสภาพยอมสัมพัทธ์เชิงช้อน ที่เรียกว่า วิธีของ Nicolson-Ross-Weir (NRW algorithm)<sup>25</sup>

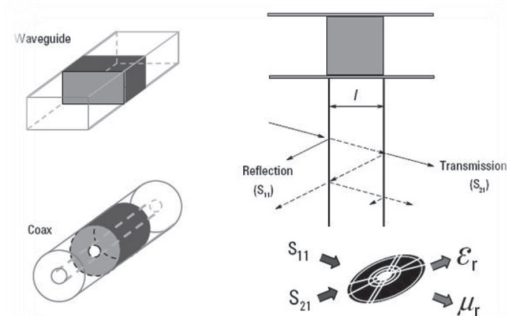


Figure 6 waveguide and coaxial transmission line techniques<sup>14</sup>

หลักการทั่วไปในการตรวจวัดของเทคโนโลยีนี้ คือ การบรรจุวัสดุที่ต้องการทดสอบเข้าไปในสายส่งคลื่นที่ส่งผ่านเข้าไปในสายส่ง เมื่อตอกกระแทกกับวัสดุ ส่วนหนึ่งจะสะท้อนกลับมาให้ได้สัมประสิทธิ์การสะท้อน ส่วนคลื่นที่ทะลุผ่านวัสดุออกไป ทำให้วัดสัมประสิทธิ์การส่งผ่านได้<sup>2,25</sup> ดังแสดงใน Figure 7

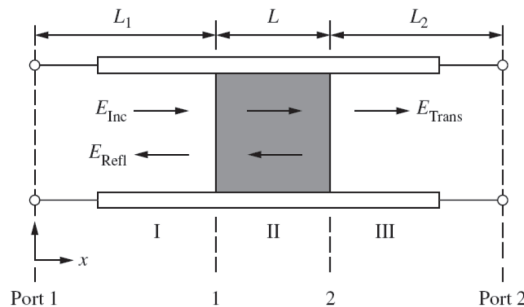


Figure 7 Electromagnetic wave which transmitted and reflected from material in transmission line<sup>25</sup>

สำหรับขั้นตอนในการคำนวณ หาสภาพยอมสัมพัทธ์เชิงช้อนโดยใช้วิธีของ NRW เรียงลำดับขั้นตอนดังต่อไปนี้<sup>12, 25</sup>

คำนวณหาสัมประสิทธิ์การสะท้อน ( $\Gamma$ )

$$\Gamma = K \pm \sqrt{K^2 - 1} \quad (8)$$

$$\text{เมื่อ } K = \frac{(S_{11}^2 - S_{21}^2) + 1}{2S_{11}} \quad (9)$$

เครื่องหมาย  $\pm$  ในสมการที่ (10) จะเป็นบวกหรือลบ  
นั้นให้พิจารณาจากค่า  $|\Gamma| \leq 1$   
ค่านวนหาสัมประสิทธิ์การส่งผ่าน ( $T$ )

$$T = \frac{(S_{11} + S_{21}) - \Gamma}{1 - (S_{11} + S_{21})\Gamma} \quad (10)$$

จากนั้นค่านวนหาสภาพย้อมสัมพัทธ์เชิงช้อนได้จาก  
สมการต่อไปนี้

$$\mu_r = \frac{1 + \Gamma}{(1 - \Gamma)\Lambda \sqrt{(1/\lambda_0^2) - (1/\lambda_c^2)}} \quad (11)$$

$$\varepsilon_r = \frac{\lambda_0^2}{\mu_r [(1/\lambda_c^2) - (1/\Lambda^2)]} \quad (12)$$

$$\text{เมื่อ } \frac{1}{\Lambda^2} = - \left[ \frac{1}{2\pi D} \ln \left( \frac{1}{T} \right) \right]^2 \quad (13)$$

เมื่อ  $\mu_r$  คือ ความชาบชีมได้สัมพัทธ์  
 $\lambda_0$  คือ ความยาวคลื่นในอากาศว่าง  
 $\lambda_c$  คือ ความยาวคลื่นตัด  
 $D$  คือ ความหนาของตัวอย่างที่ใส่เข้าไปในสายส่ง

เทคนิคสายส่งแบบท่อน้ำคลื่นและ  
แบบแกนร่วมเป็นเทคนิคที่ยุ่งยากและใช้เวลาในการวัด  
เนื่องจากต้องมีการเตรียมตัวอย่างทดสอบก่อนการตรวจวัดให้  
เป็นรูปทรงและมีขนาดเดียวกันกับสายส่งเพื่อให้สามารถใส่  
ตัวอย่างทดสอบเข้าไปในสายส่งได้ หรือต้องออกแบบสายส่ง  
ให้สามารถครอบวัสดุตัวอย่างได้พอดี<sup>13</sup> กรณีวัสดุของแข็งให้  
ตัดเป็นรูปทรงที่มีขนาดเดียวกันกับสายส่ง หากต้องการวัด  
วัสดุที่เป็นของเหลวหรือกึ่งของแข็ง จะต้องเตรียมวัสดุดังกล่าว  
ให้มีรูปทรงที่มีขนาดเดียวกันกับสายส่ง เช่น ใส่ลงในภาชนะ  
บรรจุที่ออกแบบมา หรือ ผสมสารเรซินให้แข็ง เทคนิคนี้  
สามารถวัดได้ทั้งวัสดุขนาดเล็ก (ใช้สายส่งแบบแกนร่วม) และ  
ขนาดใหญ่ (ใช้สายส่งแบบท่อน้ำคลื่น) ทั้งที่เป็นของเหลว กึ่ง  
ของแข็ง หรือของแข็ง กรณีตัวอย่างเป็นของเหลวหรือมีความ  
หนืด ให้นำตัวอย่างใส่ลงในบรรจุภัณฑ์ก่อน จึงจะสามารถใส่  
วัสดุเข้าไปในสายส่งได้ หรืออาจลากล้ำไว้ที่ว่าเป็นเทคนิคที่มีการ  
ตรวจวัดแบบทำลาย (destructive) โดยสร้างของวัสดุ เทคนิค  
นี้สามารถงานใช้ในช่วงแรกความถี่กว้างที่ความถี่สูง มีความ  
ถูกต้องแม่นยำในการวัดต่ำกว่าเทคนิคสายส่งปลายเปิด ความ  
ผิดพลาดเกิดขึ้นเนื่องจากขนาดหน้าตัดของตัวอย่างที่ใส่เข้าไป  
ไม่พอดีกับหน้าตัดของสายส่งจนทำให้เกิดช่องว่างระหว่าง

สายส่งกับวัสดุ การที่วัสดุที่ใส่เข้าไปในสายมีขนาดที่เล็กเกิน  
ไป โดยทั่วไปมักจะเกิดปัญหาเมื่อทำการวัดที่ความถี่สูงเกิน  
30 GHz จึงควรลดตัวอย่างที่ซ่างความถี่ตั้งแต่ตัวอย่างวิธีนี้<sup>10</sup>.  
14, 27-31

### 1.3 เทคนิคการส่งผ่านอวากาศว่าง เทคนิคการส่งผ่านอวากาศว่าง

(free space transmission techniques) เป็นเทคนิคที่ไม่ยุ่ง<sup>30</sup>  
ยากในการวัด เป็นการตรวจวัดแบบไม่ทำลาย (non-destructive)  
ของวัสดุ นิยมใช้วัดวัสดุที่มีลักษณะเป็นแผ่นแบนที่มี  
ขนาดใหญ่ โดยจะมีตัวยึดจับที่ทำมาจากวัสดุที่มีการสูญเสีย<sup>31</sup>  
ต่ำเพื่อลดสัญญาณสะท้อนกลับที่ไม่ต้องการ กรณีวัสดุของแข็ง  
(แผ่นแบน) ไม่ต้องมีการเตรียมตัวอย่างก่อนการตรวจวัด หาก  
ต้องการวัดวัสดุที่เป็นของเหลวหรือ กึ่งของแข็ง จะต้องเตรียม<sup>32</sup>  
วัสดุดังกล่าวให้มีรูปร่างเป็นแผ่นแบนให้ได้ เช่น ใส่ลงในภาชนะ  
บรรจุที่ออกแบบมา<sup>32</sup> หรือ ผสมสารเรซินให้กล้ายเป็นแผ่น  
แข็ง<sup>33</sup> เป็นต้น สายส่งที่ใช้ด้านเทคนิคนี้ไม่มีการสัมผัสกับ<sup>34</sup>  
ตัวอย่างทดสอบ (contactless) จึงทำให้เหมาะสมที่จะนำไปใช้วัด  
ที่อุณหภูมิสูง และไม่เกิดความคลาดเคลื่อนอันเนื่องมาจากการซ่อง  
ว่างระหว่างหน้าสัมผัส เทคนิคนี้ยังสามารถใช้งานในช่วงแอบ  
ความถี่ที่ความถี่สูงอีกด้วย<sup>25, 32, 34-36</sup>

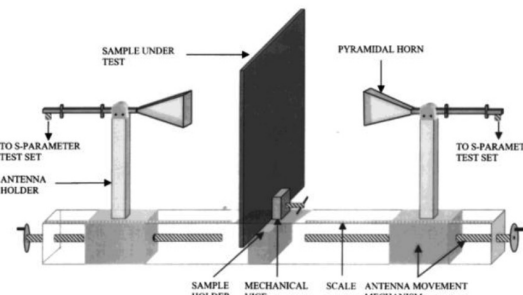


Figure 8 free space transmission techniques<sup>36</sup>

หลักการทั่วไปในการตรวจวัดของ  
เทคนิคนี้ คือ การวางวัสดุที่ต้องการวัดเข้ากับตัวยึดที่วางอยู่  
ระหว่างสายอากาศสองตัว ลักษณะการเรียงตัวจะมีรูปแบบ  
เหมือนตู้โดยสารรถไฟ คืออยู่ในแนวเส้นตรงเดียวกัน ดังแสดง  
ใน Figure 8 โดยเครื่องรับและเครื่องส่งจะทำตัวเหมือนสาย  
อากาศเลนส์แบบปากแตรที่ทำการโฟกัสสัญญาณไปที่วัสดุ  
ตัวอย่าง ระยะห่างระหว่างสายอากาศทั้งสองสามารถปรับเปลี่ยน  
ให้ได้ค่าที่เหมาะสม เพื่อลดผลกระทบที่จะเกิดขึ้นที่บริเวณขอบ  
ของวัสดุทดสอบ และสิ่งแวดล้อมในบริเวณที่ทำการวัด เมื่อ  
เครื่องส่งส่งสัญญาณไม่ตรงเวลาไปตกกระทบที่วัสดุ สัญญาณ  
บางส่วนก็จะเกิดการสะท้อนกลับ ซึ่งก็คือ สัญญาณสะท้อน  
บางส่วนถูกเก็บไว้ในวัสดุ และบางส่วนจะถูกส่งผ่านวัสดุออก

ไปยังเครื่องรับ ทำให้ได้สัญญาณส่งผ่าน<sup>25, 34-36</sup> สมมติฐานที่ใช้ในเทคนิคนี้ คือ การที่คลื่นระนาบสม่ำเสมอ (uniform plane wave) ไปต่อการทบทับกับวัสดุแบบ เอกพันธ์ (homogeneous material) ที่มีพื้นผิวแบบราบ จะทำให้วัสดุนั้นเป็นแผ่นอนันต์ จึงไม่พิจารณาป्रากฏการณ์การเลี้ยวเบน (diffraction effect) ที่ขอบของวัสดุซึ่งเป็นค่าที่ทำให้เกิดความผิดพลาดของการใช้เทคนิคนี้<sup>19</sup> ดังนั้นการออกแบบสายอากาศ ที่ยึดตัวอย่าง หรือแม้แต่การปรับระยะระหว่างสายอากาศทั้งสองให้เหมาะสมจะทำให้การวัดมีความถูกต้องแม่นยำมากขึ้นแม้ว่าเทคนิคนี้มีความถูกต้องแม่นยำในการวัดต่ำกว่าเทคนิคสายส่งปลายเปิด ก็ตาม<sup>18, 35, 36</sup>

การคำนวณหาสภาพย้อมสัมพัทธ์เชิงช้อนโดยใช้เทคนิคการส่งผ่านของคลื่นว่างนั้น มีแบบจำลองทางคณิตศาสตร์อยู่หลายวิธี ขึ้นอยู่กับความเหมาะสมของงานที่ทำ ในที่นี้จะยกวิธีที่ใช้ NRW algorithm มาประยุกต์ใช้ในการคำนวณ โดยเรียงลำดับขั้นตอนดังต่อไปนี้<sup>25, 36</sup>

คำนวณหาสัมประสิทธิ์การสะท้อน ( $\Gamma$ ) และสัมประสิทธิ์การส่งผ่าน ( $T$ ) จากสมการที่ (8) - (10)

โดยเครื่องหมาย  $\pm$  ในสมการที่ (8) จะเป็นบวกหรือลบันนี้ให้พิจารณาจากค่า  $|\Gamma| < 1$

จากนั้นคำนวณหาค่าคงตัวการแพร่กระจาย (propagation constant:  $\gamma$ ) ของตัวกลาง จากสมการต่อไปนี้

$$\gamma = \frac{\ln(1/T)}{d} \quad (14)$$

สภาพย้อมสัมพัทธ์เชิงช้อนได้จากการต่อไปนี้

$$\varepsilon_r = \frac{\gamma}{\gamma_0} \left( \frac{1-\Gamma}{1+\Gamma} \right) \quad (15)$$

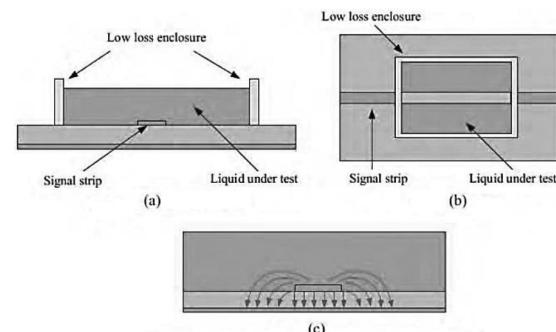
โดยที่  $\gamma_0$  คือ ค่าคงตัวการแพร่กระจายในอากาศว่าง  
 $d$  คือ ความหนาของวัสดุตัวอย่าง

#### 1.4 เทคนิคสายส่งแบบระนาบ

เทคนิคสายส่งแบบระนาบ (planar transmission line techniques) ถูกแสดงไว้ดัง Figure 9 สายส่งแบบระนาบที่นิยมใช้เป็นส่วนประกอบของวงจรไมโครเวฟ

คือ ไมโครสเตริป (microstrip) ท่อน้ำคัลลีระนาบร่วม (coplanar waveguides) และสายส่งแกนร่วมแบบปลายเปิด สาเหตุที่นิยมใช้เนื่องจากสามารถออกแบบให้มีขนาดที่เล็กได้ ค่าใช้จ่ายในการผลิตต่ำ และสร้างง่าย จึงเหมาะสมที่จะนำไปใช้ในด้านอุตสาหกรรมที่ใช้การวัดสภาพ ย้อมสัมพัทธ์เชิงช้อน<sup>10</sup>

โครงสร้างที่ใช้ในการวัดประกอบด้วย สายส่งแบบระนาบรูปร่างสี่เหลี่ยม ซึ่งรับส่งสัญญาณถูกออกแบบให้อยู่ที่ส่วนบนของโครงสร้าง มีลักษณะเป็นวงแหวน เมื่อมองกับ โครงสร้างของเทคนิคสายส่งแกนร่วมแบบปลายเปิด โครงสร้างของโครงสร้างมีลักษณะเหมือนสายส่งแกนร่วมที่ถูกหักให้แบบนั้นคือ ตัวครอบด้านนอกในสายส่งแบบระนาบที่ยังได้กับด้านนอกของสายส่งแกนร่วม ส่วนไมโครสเตริปที่เห็นในสายส่งแบบระนาบที่ยังได้กับด้านในของสายส่งแกนร่วม โดยไมโครสเตริปจะถูกเชื่อมต่อกับส่วนบนของโครงสร้างโดยการเจาะรูเชื่อมต่อ (via holes) และเดิมสารอิพ็อกซี่ลงไป<sup>37-39</sup> แสดงใน Figure 10



**Figure 9** Microstrip transmission line using for measuring complex relative permittivity (a) cross sectional view (b) top view (c) electric field distribution across the cross section of a microstrip line covered with a superstrate<sup>10</sup>

หลักการทั่วไปในการตรวจวัดของเทคนิคนี้ คือ การนำโครงสร้างแบบแก้ไข หรือกึ่งของแข็ง หรือจุ่มในวัสดุที่เป็นของเหลว จากนั้นจะทำการวัดสัญญาณที่ถูกสะท้อนกลับและนำค่าที่ได้ไปคำนวณหาสภาพย้อมสัมพัทธ์เชิงช้อนของวัสดุ<sup>37, 38</sup>

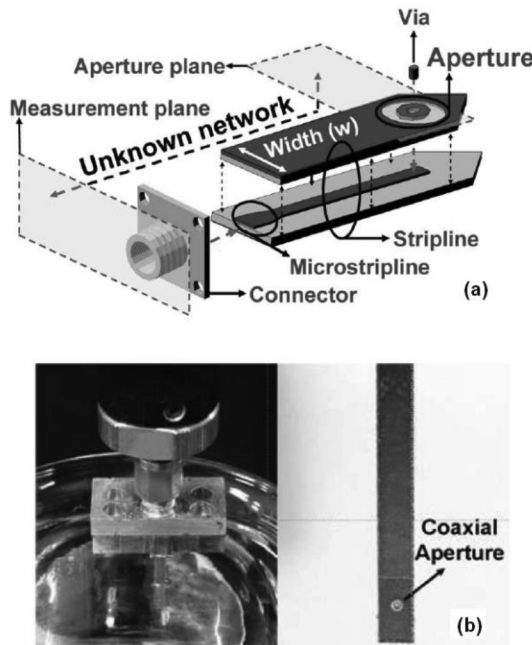


Figure 10 planar probe (a) simulation (b) fabricate<sup>39</sup>

การคำนวณหาสภาพย้อมสัมพัทธ์ เชิงช้อนของวัสดุสามารถทำได้โดยใช้ตัวอย่างที่ทราบสภาพ ย้อมสัมพัทธ์เชิงช้อน 3 ชนิด เช่น วัสดุ A B และ C ซึ่งมีสภาพ ย้อมสัมพัทธ์เชิงช้อน เป็น  $\epsilon_A$   $\epsilon_B$  และ  $\epsilon_C$  ตามลำดับ นำprobe ไปวัดวัสดุทั้ง 3 และตัวอย่างที่ทดสอบที่ต้องการทราบ สภาพ ย้อมสัมพัทธ์เชิงช้อนเพื่อให้ได้สัมประสิทธิ์การสะท้อน  $\Gamma_A$   $\Gamma_B$   $\Gamma_c$  และ  $\Gamma_s$  เมื่อตัวห้อย S หมายถึงตัวอย่างทดสอบ และใช้ สมการต่อไปนี้ในการคำนวณหาสภาพย้อมสัมพัทธ์เชิงช้อน ของตัวอย่างทดสอบ ( $\epsilon_s$ )<sup>37,38</sup>

$$\frac{(\epsilon_s - \epsilon_A)(\epsilon_B - \epsilon_C)}{(\epsilon_s - \epsilon_B)(\epsilon_C - \epsilon_A)} = \frac{(\Gamma_s - \Gamma_A)(\Gamma_B - \Gamma_C)}{(\Gamma_s - \Gamma_B)(\Gamma_C - \Gamma_A)} \quad (16)$$

เทคนิคสายสัมภาระแบบเป็น เทคนิคที่สะดวกในการวัด เป็นการตรวจวัดแบบไม่ทำลาย (non-destructive) วัสดุ และไม่ต้องมีการเตรียมตัวอย่างก่อน การตรวจวัด โดยทั่วไปวัสดุที่ถูกวัดด้วยเทคนิคนี้เป็นได้ทั้ง ของแข็ง ของเหลว และกึ่งของแข็ง นิยมใช้วัดวัสดุขนาดเล็ก เนื่องจากprobe มีขนาดเล็ก ข้อดีของเทคนิคนี้คือ สายสัมภาระสร้างได้ยากกว่าสายสัมภาระแบบเดินทาง แต่ข้อดีของการสอบเทียบเครื่องมือให้ได้มาตรฐานต้องใช้วัสดุที่ทราบสภาพย้อมสัมพัทธ์เชิงช้อนหลายตัวมาใช้ในการสอบเทียบ ทำให้เกิด ความยุ่งยากในกระบวนการออกแบบ แต่ก็เป็นเทคนิคที่มี ความแม่นยำในการวัดค่อนข้างสูง สามารถทำงานในช่วงแอบ ความถี่กว้าง นิยมนำไปใช้ในด้านชีวภาพและการแพทย์ เช่น การวัดเนื้อเยื่อ เป็นต้น<sup>37-41</sup>

นักวิจัยหลายท่านได้ทำการ พัฒนาและปรับปรุงเทคนิคนี้เรื่อยมา จนทำให้เกิดแบบจำลอง ในการปรับแต่งprobe ที่ถูกสร้างขึ้นมาและการคำนวณหา สภาพย้อมสัมพัทธ์เชิงช้อนของวัสดุขึ้นหลายรูปแบบ<sup>37-41</sup> เช่น ในปี ค.ศ. 2007 Jung M.K. และคณะ<sup>41</sup> ได้ทำการออกแบบ probe ด้วยเทคนิคสายสัมภาระแบบไมโครสตริปที่ความถี่ต่ำ เพื่อทำการวัดเนื้อเยื่อมะเร็งในหนูทดลอง ดังแสดงใน Figure 19 และ Figure 20

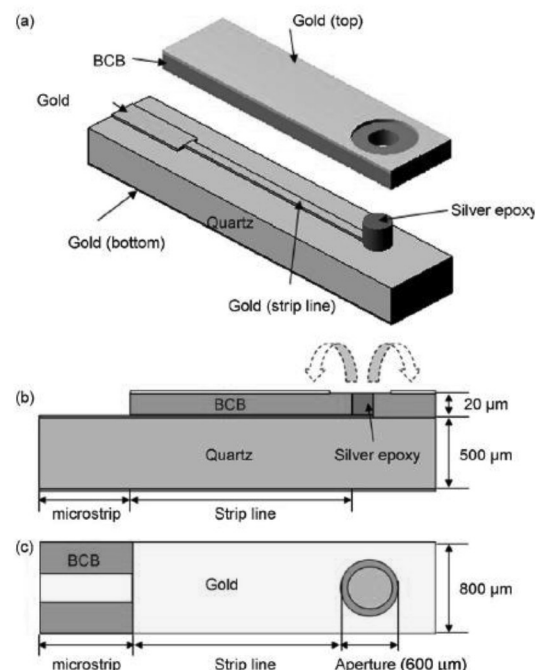


Figure 19 (a) Structure of fabricated probe (b) cross sectional view (c) top view<sup>41</sup>

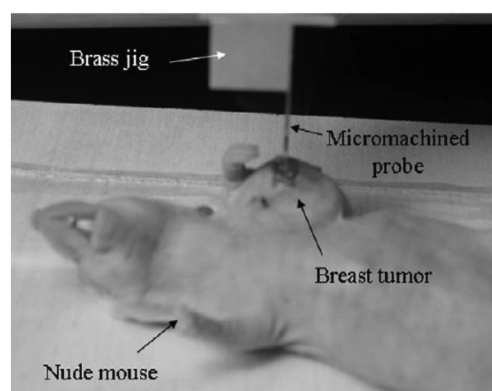


Figure 20 Measurement of cancer cells in mice<sup>41</sup>

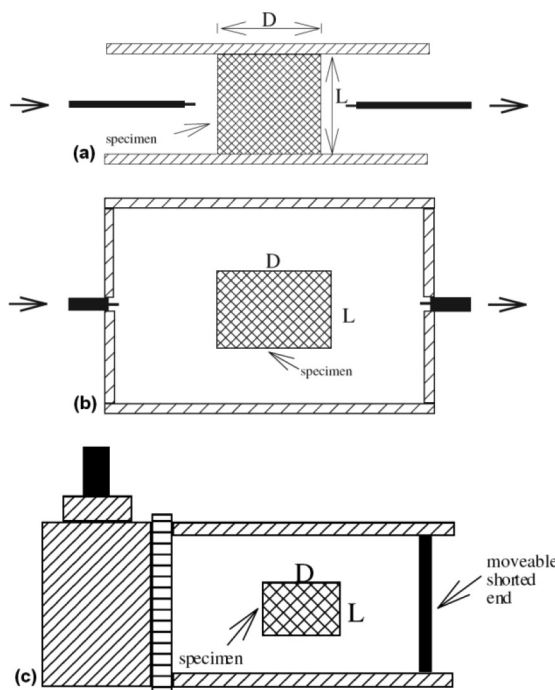
## 2. วิธีเรโซนэнซ์

สำหรับวิธีเรโซนэнซ์ (resonant methods) อาศัยค่าของความถี่เรโซนэнซ์ (resonant frequency) และ

ตัวประกอบคุณภาพ (quality factor) ที่มีการเปลี่ยนแปลงในการหาสภาพย้อมสัมพัทธ์เชิงช้อนของวัสดุทดสอบ วิธีนี้ประกอบด้วย วิธีเรโซเนเตอร์ (resonator method) และ วิธีการรับกวนแบบเรโซแนนซ์ (resonant-perturbation method)

### 2.1 วิธีเรโซเนเตอร์

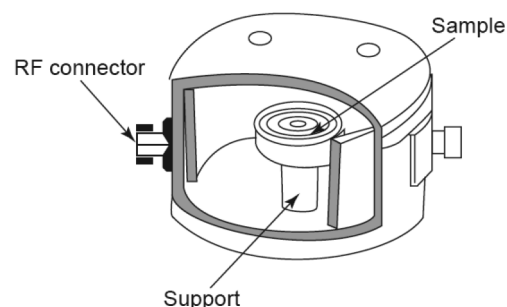
วิธีเรโซเนเตอร์ (resonator method) หรือเรียกอีกอย่างหนึ่งว่า วิธีไดอิเล็กตริกเรโซเนเตอร์ (dielectric resonator) เป็นวิธีที่ใช้ในการวัดสภาพย้อมของวัสดุ ไดอิเล็กตริกอีกวิธีหนึ่ง ที่วัสดุทดสอบทำหน้าที่เป็น เเรโซเนเตอร์ในวงจรวัด โดยสภาพย้อมสัมพัทธ์เชิงช้อนสามารถหาได้จากความถี่เรโซแนนซ์ และตัวประกอบคุณภาพที่เกิดขึ้นก่อนและหลังใส่วัสดุทดสอบ วิธี เเรโซเนเตอร์รวมไปถึงเทคนิคเรโซแนนซ์แบบโพรงทรงกระบอก (cylinder cavity resonance technique) และเทคนิคเรโซแนนซ์ แบบการสะท้อนในห้องนำคลื่น (waveguide reflection resonance technique)<sup>11</sup> ดังแสดงใน Figure 21



**Figure 21** (a) resonator method (b) cylinder cavity resonance technique (c) waveguide reflection resonance technique<sup>11</sup>

การตรวจด้วยวิธีเรโซเนเตอร์ทำได้โดยการนำตัวอย่างทดสอบแบบทรงกระบอกไปวางไว้ระหว่างแผ่นตัวนำ 2 แผ่น ซึ่งสามารถหาสมบัติของวัสดุตัวอย่างได้จากสมบัติของเรโซเนเตอร์ที่เกิดขึ้น สมบัติของแผ่นตัวนำทั้งสองจะถูกสมมติว่าทราบค่า และใช้โมด  $TE_{011}$  (transverse electric

$TE_{011}$  mode) ซึ่งเป็นโมดที่นิยมใช้ในการหาลักษณะเฉพาะของสมบัติของวัสดุเนื่องจากไม่มีกระแสแลกเปลี่ยนระหว่างแผ่นตัวนำกับวัสดุตัวอย่าง จึงทำให้การเกิดซ่องว่างขนาดเล็กระหว่างแผ่นตัวนำทั้งสองกับตัวอย่างซึ่งมีผลน้อยมากต่อการวัด ส่วนแบบจำลองทางคณิตศาสตร์ที่ใช้ในการคำนวณหาสมบัติของวัสดุตัวอย่างนั้นมีรูปแบบที่แตกต่างกันขึ้นอยู่กับชนิดของวัสดุตัวอย่าง โครงสร้าง และวิธีไดอิเล็กตริกเรโซเนเตอร์ ที่ใช้<sup>11, 26</sup> ส่วนลักษณะการวางแผนวัสดุทดสอบในเทคนิค เเรโซแนนซ์แบบโพรงทรงกระบอกและเทคนิคเรโซแนนซ์ แบบการสะท้อนในห้องนำคลื่น จะใส่วัสดุเข้าไปในโพรงโดยที่วัสดุจะต้องไม่สัมผัสกับตัวป้องกันแบบโลหะ<sup>11, 13</sup> ดังแสดงใน Figure 22



**Figure 22** Placing test material in cylinder cavity resonance technique<sup>13</sup>

ตัวอย่างแบบจำลองทางคณิตศาสตร์ที่ใช้ในการคำนวณสภาพย้อมสัมพัทธ์เชิงช้อนด้วยวิธีเรโซเนเตอร์<sup>19</sup>

$$\epsilon_r' = \left( \frac{f_0}{f_s} \right)^2 \quad (17)$$

$$\epsilon_r'' = \left( \frac{1}{Q_s} - \frac{1}{Q_0} \sqrt{\frac{f_0}{f_s}} \right) \left( \frac{f_0}{f_s} \right)^2 \quad (18)$$

เมื่อ  $f_0$  คือ ความถี่เรโซแนนซ์ก่อนใส่วัสดุทดสอบ  
 $f_s$  คือ ความถี่เรโซแนนซ์หลังใส่วัสดุทดสอบ  
 $Q_0$  คือ ตัวประกอบคุณภาพก่อนใส่วัสดุทดสอบ  
 $Q_s$  คือ ตัวประกอบคุณภาพหลังใส่วัสดุทดสอบ

วิธีเรโซเนเตอร์เป็นวิธีที่ให้ความแม่นยำในการวัดสูงกว่าเทคนิคของวิธีไม่เรโซแนนซ์ แต่การวัดสามารถทำได้แค่หนึ่งความถี่ ซึ่งต่างจากเทคนิคของวิธีไม่เรโซแนนซ์ที่สามารถทำงานในช่วงแปรความถี่กว้างได้ วัสดุที่ใช้วัดมีขนาดใหญ่เมื่อเทียบกับวิธีการรับกวนแบบเรโซแนนซ์<sup>11</sup> และจะต้องเป็นวัสดุมีสมบัติไม่เหมือนกันทุกทิศทาง (anisotropic material) และเป็นวัสดุที่มีการสูญเสียน้อย ไม่สามารถใช้วัดวัสดุที่มีการสูญเสียสูงได้ วิธีนี้สามารถใช้วัดค่าคงตัวได้

เล็กตระกิทที่สูง ๆ ได้<sup>13</sup> แต่วิธีนี้เป็นการตรวจวัดแบบทำลาย (destructive) โครงสร้างของวัสดุ และต้องมีการเตรียมตัวอย่าง ก่อนการตรวจวัด ซึ่งทำได้ค่อนข้างยุ่งยากโดยเฉพาะวัสดุที่เป็นกึ่งของแข็งและของเหลว ทั้งยังมีความยุ่งยากในการคำนวณหาสภาพ ยอมสัมพัทธ์เชิงช้อนในบางแบบจำลองทางคณิตศาสตร์<sup>13, 18, 25, 42, 43</sup>

## 2.2 วิธีรับกวนแบบเรโซแนนซ์

วิธีการรับกวนแบบเรโซแนนซ์ (resonant-perturbation method) หรือ วิธีการรับกวนแบบโพรง (cavity-perturbation method) ต่างจากวิธีเรโซเนเตอร์ ตรงที่วัสดุตัวอย่างไม่ได้ใช้เป็นเรโซเนเตอร์ แต่ตัวอย่างที่อยู่ในโพรงเรโซเนเตอร์ทำให้ความถี่เรโซแนนซ์และตัวประกอบคุณภาพของเรโซเนเตอร์มีการเปลี่ยนแปลง ซึ่งทั้งสองค่าจะถูกนำไปคำนวณหาสภาพยอมสัมพัทธ์เชิงช้อนของวัสดุทดสอบ<sup>11, 25, 42</sup> ดังแสดงใน Figure 24

การตรวจวัดทำได้โดยใส่ตัวอย่างทดสอบลงไปในโพรงเรโซแนนซ์ ซึ่งจะทำให้ความถี่เรโซแนนซ์ถูกเลื่อนและตัวประกอบคุณภาพของโพรงลดลง จาก Figure 25 ถ้าใส่วัสดุขนาดเล็กที่มีลักษณะเป็นหลอด แผ่น หรือแท่งเข้าไปในโพรงบริเวณที่มีสนามไฟฟ้าสูงสุดและมีสนามแม่เหล็กสูงสุด จะสามารถหาความชาร์จซึ่งได้ข่องวัสดุโดยใช้โมด TE<sub>010</sub> (transverse electric TE<sub>010</sub> mode) เป็นโมดทำงาน<sup>11, 25, 42, 44</sup>

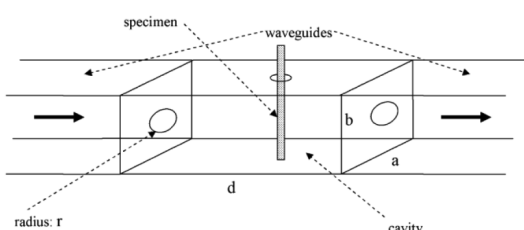


Figure 24 resonant-perturbation method<sup>44</sup>

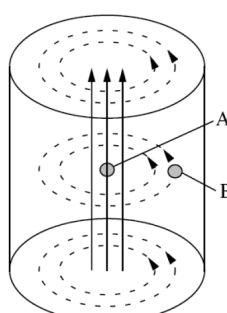


Figure 25 Position of test material placing in the measurement<sup>25</sup>

แบบจำลองทางคณิตศาสตร์ที่ใช้ในการคำนวณ สภาพยอมสัมพัทธ์เชิงช้อนของวัสดุตัวอย่าง นั้นมีรูปแบบที่แตกต่างกันขึ้นอยู่กับชนิดของวัสดุตัวอย่าง โครงสร้างและวิธีการรับกวนแบบเรโซแนนซ์ที่ใช้<sup>11, 25</sup>

ตัวอย่างสูตรที่ใช้ในการคำนวณ สภาพยอมสัมพัทธ์เชิงช้อนด้วยวิธีการรับกวนแบบเรโซแนนซ์<sup>18</sup>

$$\varepsilon_r' = \frac{1}{2} \left( \frac{f_0}{f_s} - 1 \right) \frac{V_c}{V_s} - 1 \quad (19)$$

$$\varepsilon_r'' = \frac{1}{4} \left( \frac{1}{Q_s} - \frac{1}{Q_c} \right) \frac{V_c}{V_s} \quad (20)$$

เมื่อ  
 $f_0$  คือ ความถี่เรโซแนนซ์ก่อนใส่วัสดุทดสอบ  
 $f_s$  คือ ความถี่เรโซแนนซ์หลังใส่วัสดุทดสอบ  
 $Q_c$  คือ ตัวประกอบคุณภาพก่อนใส่วัสดุทดสอบ  
 $Q_s$  คือ ตัวประกอบคุณภาพหลังใส่วัสดุทดสอบ  
 $V_s$  คือ ปริมาตรของวัสดุทดสอบ  
 $V_c$  คือ ปริมาตรของโพรง

วิธีการรับกวนแบบโพรงเป็นวิธีที่ให้ความแม่นยำในการวัดสูง แต่การวัดสามารถทำได้แค่หนึ่งความถี่เท่านเดียว วิธีเรโซเนเตอร์ วิธีนี้สามารถใช้วัดสภาพยอมสัมพัทธ์เชิงช้อนที่อุณหภูมิสูง ๆ ได้ วัสดุที่ใช้วัดมีขนาดเล็กมาก เป็นวัสดุแบบเนื้อเดียวหรือเอกพันธ์ (homogeneous material)<sup>18</sup> และเป็นวัสดุที่มีการสูญเสียน้อย วิธีนี้เป็นการตรวจวัดแบบทำลาย (destructive) วัสดุ และต้องมีการเตรียมตัวอย่างก่อนการตรวจวัด ซึ่งทำได้ค่อนข้างยุ่งยากเนื่องจากตัวอย่างมีขนาดเล็ก ถ้าเป็นของแข็งก็จะมีการปรับแต่งให้ได้รูปทรงและขนาดของโพรง ส่วนวัสดุที่เป็นกึ่งของแข็งและของเหลว จะต้องนำไปใส่ในบรรจุภัณฑ์ก่อนจึงจะนำไปใส่ในโพรง ความผิดพลาดในการวัดด้วยวิธีนี้เกิดขึ้นเมื่อวัสดุที่เตรียมไว้มีขนาดไม่พอดีกับโพรง และทำให้เกิดช่องว่างขนาดเล็กขึ้นได้<sup>18, 44-47</sup>

## บทวิเคราะห์

จากการปริทัศน์วรรณกรรมเทคนิคการวัดสภาพยอมสัมพัทธ์เชิงช้อนที่กล่าวมา 6 เทคนิค คือ เทคนิคสายสั่งแบบปลายเปิด เทคนิคสายสั่งแบบท่อนำคลื่นและแบบแกนร่วม เทคนิคการส่งผ่านอวากาศว่าง เทคนิคสายสั่งแบบระนาบ วิธีเรโซเนเตอร์ และวิธีการรับกวนแบบเรโซแนนซ์ บางเทคนิคเหมาะสมสำหรับใช้ในการวัดของแข็งโดยเฉพาะ เนื่องจากไม่ต้องทำการเตรียมตัวอย่างก่อนทดลอง ทำให้ง่ายและสะดวกในการวัด เช่น เทคนิคสายสั่งแบบปลายเปิด เทคนิคการส่งผ่าน

อาจกาศว่าง และเทคนิคสายสั้นแบบระนาบ บางเทคโนโลยีสามารถวัดได้เฉพาะวัสดุที่มีการสูญเสียต่ำเท่านั้น เช่น วิธีเรโซโนเตอร์ และวิธีการรับกวนแบบเรโซแนนซ์ บางเทคโนโลยีสามารถวัดได้แต่สัดส่วนจะต้องถูกเปลี่ยนโครงสร้าง เช่น เทคนิคสายสั้นแบบท่อนำคลื่นและแบบแกนร่วม เทคนิคการส่งผ่านอวากาด์ว่าง วิธีเรโซโนเตอร์ และวิธีการรับกวนแบบเรโซแนนซ์

สิ่งที่ต้องคำนึงถึงในการนำแต่ละเทคนิคไปใช้ คือ วัสดุที่ต้องการวัดนั้นเป็นของแข็ง ของเหลว หรือ กึ่งของแข็ง วัสดุภูมิจัดให้เป็นวัสดุประเภทใด ขนาดของวัสดุที่นำไปใช้ ทดลอง ต้องการวัดแบบทำลายหรือไม่ทำลายวัสดุ ความถี่ที่

ต้องการวัดว่าต้องการวัดที่ความถี่เดียวหรือเป็นแถบความถี่ หรือแม้กระทั่งการเตรียมวัสดุก่อนการทดลอง เป็นต้น เพื่อให้เกิดความสะดวกและความถูกต้องแม่นยำในการวัดสภาพยอมสัมพัทธ์เชิงช้อน

เพื่อให้ผู้อ่านสามารถเลือกเทคนิคในการวัดสภาพยอมสัมพัทธ์เชิงช้อนให้เหมาะสมกับวัสดุและงานที่ต้องการนำไปประยุกต์ใช้ และเพื่อให้เข้าใจแต่ละเทคนิคได้ง่ายขึ้น ผู้เขียนจึงของสรุปภาพรวมของเทคนิคทั้ง 6 ที่ได้กล่าวมา โดยการเปรียบเทียบสมบัติต่าง ๆ ของแต่ละเทคนิคไว้ใน Table 1

**Table 1** Properties of each technique for complex relative permittivity measurement

Technique	Open-ended transmission line	waveguide and coaxial transmission line	free space transmission	planar transmission line	resonator	resonant-perturbation
<b>testing</b>	non-destructive	destructive	non-destructive	non-destructive	destructive	destructive
<b>size of sample</b>	small	large (wave-guide) small (coaxial)	large	small	large	very small
<b>state of sample</b>	liquid, solid, semi solid	solid	solid (large flat plate)	liquid, solid, semi solid	solid	solid
<b>accuracy</b>	high (lossy material with high loss)	moderate	moderate	high	very high (lossy material with low loss)	very high (lossy material with low loss)
<b>sample preparation</b>	no	yes (difficult)	yes (difficult for liquid, and semi solid)	no	yes (difficult for liquid, and semi solid)	no
<b>frequency</b>	wideband frequency	wideband frequency	wideband frequency	wideband frequency	single frequency	single frequency

## สรุป

บทความนี้นำเสนอการทบทวนงานวิจัยที่เกี่ยวข้องกับเทคนิคการวัดสภาพยอมสัมพัทธ์เชิงช้อน ซึ่งได้กล่าวถึงเทคนิคต่าง ๆ ที่ใช้ในการวัด ลักษณะทางกายภาพของวัสดุทดสอบที่เหมาะสมในการวัดแต่ละเทคนิค รวมไปถึงข้อดีและข้อเสียของแต่ละเทคนิค นอกจากนี้ยังกล่าวถึงการนำแต่ละเทคนิคไปประยุกต์ใช้งานอีกด้วย

## กิตติกรรมประกาศ

ผู้เขียนขอขอบคุณ คณะวิศวกรรมศาสตร์ มหาวิทยาลัยมหสาราม ที่ได้อนุเคราะห์สถานที่ เครื่องมืออุปกรณ์ และงบประมาณเพื่อการทบทวนงานวิจัยในครั้งนี้

## เอกสารอ้างอิง

1. Vorlíček, J., Oppl, L. and Vrba, J. 2010. Measurement of complex permittivity of biological tissues. Proceeding of Progress in Electromagnetic Research Symposium Proceedings, Cambridge, USA, July 5 – 8, 2010: 599–601.
2. Berezovsky, V.K., Drobot, S.V., Khandogin, M.S. and Rusakovich, V.N. 2006. The waveguide technique of measurement of the complex permittivity of materials. Proceeding of 51<sup>st</sup> Internationales Wissenschaftliches Kolloquium Technische Universität Ilmenau, September 11 – 15, 2006.

3. Al-Mously, S.I., and Omran, K.F. 1999. Early detection of grains putrefaction in Barns and techniques of treatment using microwaves. First Conference on Natural Resources in Sirt Gulf Region, Sirt, Libya, November, 1999: 27-30.
4. King, R.J., King, K.V. and Woo, K. 1992. Microwave moisture measurement of grains. IEEE Transactions on Instrumentation and Measurement, 41(2): 111-115.
5. Nelson, S., Forbus, W.Jr. and Lawrence, K. 1994. Permittivity of fresh fruits and vegetables at 0.2 to 20 Hz. Journal of Microwave Power Electromagnetic Energy, 29(2): 81-93.
6. Stuchly, M.A., Athey, T.W., Samaras, G.M. and Taylor, G.E. 1982. Measurement of radio frequency permittivity of biological tissues with an open-ended coaxial line: Part II – Experimental Results. IEEE Transactions on Microwave Theory and Techniques, 30(1): 87-92.
7. Wei, Y. and Sridhar, S. 1992. Biological applications of a technique for broadband complex permittivity measurements. Proceeding of IEEE MTT-S International Microwave Symposium, 92.3: 1271-1274.
8. Elkhazmi, E.A., ZainalAbdin, M.N. and McEwan, N.J. 1997. Complex permittivity measurement of molding plastics using hybrid time and frequency methods. High Frequency Postgraduate Student Colloquium, Department of Electrical and Electronic Engineering, Bradford University, Leeds, UK.
9. Al-Mously, S.I. and Abdalla, A.Z. 2001. Microwave evaluation of used oil quality deterioration. Arab Gulf Journal of scientific Research, Arabian Gulf University, Bahrain, 19(2): 72-77.
10. Kashif, S., Muhammad, F.S., Matthew, B.B. and Ian, C.H. 2012. Planar microwave sensors for complex permittivity characterization of materials and their application. Applied Measurement Systems, Rijeka, Croatia.
11. Jyh, S. 2005. Study of microwave dielectric properties measurements by various resonance techniques. Measurement, 37: 123-130.
12. นิติพันธ์ รัตน์ประโภ. 2548. การตรวจหาความอ่อนแก่ของทุเรียนโดยใช้คลื่นไมโครเวฟวิเคราะห์ความชื้น. วิทยานิพนธ์ วิศวกรรมศาสตร์มหาบัณฑิต สาขาวิชา วิศวกรรมไฟฟ้า มหาวิทยาลัยเทคโนโลยีพระจอมเกล้า ชลบุรี.
13. Komarov, V., Wang, S. and Tang, J. 2005. Permittivity and measurement. In K. Chang (eds.), The Wiley Encyclopedia of RF and Microwave Engineering, John Wiley & Sons, Inc., New York, 4: 3693-3711.
14. Agilent. 2006. Basics of Measuring the Dielectric Properties of Materials: Application note, Agilent Technologies, USA.
15. นิวัติ์ อังควิชชพันธ์. 2554. เทคโนโลยีในการออกแบบ วงจรกรองความถี่แบบหยุดผ่านไมโครสตريป. วารสาร วิชาการ วิศวกรรมศาสตร์ ม.อ., 4(2): 35-49.
16. อาคมแก้วระวงศ. 2550. สนามแม่เหล็กไฟฟ้า. มหาวิทยาลัย ขอนแก่น, ขอนแก่น, หน้า 248-250.
17. Athey, T. W., Stuchly, M.A., and Stuchly, S.S. 1982. Measurement of Radio Frequency Permittivity of Biological Tissues with an Open-ended Coaxial Line: Part I, IEEE Transactions on Microwave Theory and Techniques, MTT-30(1): 82-86.
18. Venkatesh, M.S., and Raghavan, G.S.V. 2005. An Overview of Dielectric Properties Measuring Techniques, Canadian Biosystems Engineering, 47: 7.15-7.30.
19. Marsland, T.P. and Evans, S. 1987. Dielectric Measurement with Open-ended probe, Microwaves, Antennas and Propagation, IEE Proceeding H, 134(4): 341-349.
20. Zajicek, R., Vrba, J. and Novotny, K. 2006. Evaluation of a Reflection Method on an Open-ended Coaxial Line and its Use in Dielectric Measurements, ActaPolytechnica, 46(5): 50-54.
21. Israel, G.R., Carlos, D.A.C. and Hildeberto, J.A. 2006. Measuring Complex Permittivity of Materials for Frequencies under 18 GHz, Applied Microwave & Wireless, pp: 56-66.
22. David, V.B. and Roger, D.P. 1997. An improved technique for permittivity measurements using a

- coaxial probe. IEEE Transaction on Instrumentation and Measurement, 46(5): 1093-1099.
23. Bilal, F., Francois, B., Jamal, R. and Gerard, B. 2008. Design and calibration of a large open-ended coaxial probe for the measurement of the dielectric properties of concrete. IEEE Transactions on Microwave Theory and Techniques, 56(10): 2322-2328.
24. Zheng, H.M. and Smith, C.E. 1991. Permittivity measurements using a short open-ended coaxial line probe. IEEE Microwave and Guided Wave Letter, 1(11): 337-339.
25. Chen, L., Ong, C., Neo, C., Varadan V.V. and Varadan, V.K. 2004. Microwave electronics:Measurement and materials characterization, John Wiley and Sons, Chichester, UK.
26. Nicolson, A.M. and Ross, G.F. 1970. Measurement of the Intrinsic Properties of Materials by Time-domain Techniques, IEEE Transaction on Instrumentation and Measurement, IM-19(4): 377–382.
27. James, B.J., Michael, D.J., John, H.G. and Jr. Richard, G.G. 1993. Transmission/reflection and short-circuit line methods for measuring permittivity and permeability. National Institute of Standards and Technology, Colorado, Technical Note 1355-R, December, 1993.
28. Weir, W.B. 1974. Automatic measurement of complex dielectric constant and permeability at microwave frequency. Proceeding of the IEEE, 62(1), January, 1974.
29. Wang, Y. and Afsar, M.N. 2003. Measuremen of complex permittivity of liquids using waveguide techniques. Progress In Electromagnetics Research, PIER, 42: 131–142.
30. Luigi, R., Chiara C. and Annachiara B. 2010. A waveguide technique for non-destructive determination of egg quality parameters. Journal of Food Engineering, 100: 343–348.
31. Politechnika, L. and Katedra, O.T. 2012. Dielectric permittivity measurement methods of textile substrate of textile transmission lines. Przegld Elektrotechniczny (Electrical Review), R. 88: 148–151.
32. Aziz, M., Ermeey, A.K., Jusoff, K. 2010. Nondestructive and noncontact dielectric measurement methods for transformer oil using free-space microwave measurement system in 19–25 GHz frequency range. International Journal on Computer Science and Engineering (IJCSE), 2(4): 1184-1189.
33. Wee, F.H., Soh, P.J., Suhaizal, A.H.M, Nornikman, H. and Ezanuddin, A.A.M. 2009. Free space measurement technique on dielectric properties of agricultural residues at microwave frequencies. IEEE MTT-S International Microwave & Optoelectronics Conference (IMOC 2009): 183-187.
34. Kumar, S.B., Raveendranath, U., Mohanan, P., Mathew, K.T., Hajian, M. and Lighthart, L.P. 2000. A simple free space method for measuring the complex permittivity of single and compound dielectric materials. Microwave and Optical Technology Letters, 26(2), July 20, 2000: 117-119.
35. Varadan V. V., Richard D.H., Deepak K.G., and Vijay K. V. 1991. Free-space, broadband easurements of high-temperature, complex dielectric properties at microwave frequencies. IEEE Transactions on Instrumentation and Measurement, 40(5), October, 1991: 842-846.
36. Ghodgaonkar, D.K., Varadan, V.V., and Varadan, V.K. 1990. Free-space measurement of complex permittivity and complex permeability of magnetic materials at microwave frequencies. IEEE Transactions on Instrumentation and Measurement. 39(2), April, 1990: 387-394.
37. Byoungjoong, K., Jeiwon, C., Changyul, C. and Youngwoo, K. 2004. A Planar-type Probe with a Coaxial Aperture for Nondestructive Complex Permittivity Measurement of Biological Materials up to 30 GHz, IEEE MTT-S Digest, 1441 – 1444.
38. Byoungjoong, K., Jae, H.P., Jeiwon, C., Kihyun, K., Sungkyu, L., Jeonghoon, Y., Changyul, C., Yong, K.K. and Youngwoo, K. 2005. Novel Low-cost Planar Probes with Broadside Apertures for Nondestructive Dielectric Measurement of Biological Materials at Microwave Frequencies, IEEE Transaction on Microwave Theory and Techniques, 53(1): 134 – 143.

39. Namgon K., Jeonghoon Y., Sungjoon C., Jeiwon C., Changyul C. and Youngwoo K. 2008. An optimum design methodology for planar-type coaxial probes applicable to broad temperature permittivity measurements. *IEEE Transactions on Microwave Theory and Techniques*, 56(3): 684-692.
40. Raj, A., Holmes, W. and Judah, S. 2001. Wide bandwidth measurement of complex permittivity of liquids using coplanar lines. *IEEE Transactions on Instrumentation and Measurement*, 50(4), August, 2001: 905-909.
41. Jung M.K., Sungjoon, C., Namgon, K., Jeonghoon, Y., Jeiwon, C., Changyul, C., Youngwoo, K. and Yong, K.K. 2007. Planar Type Micromachined Probe with Low Uncertainty at Low Frequencies, *Sensors Actuators: A Physical*, 139: 111-117.
42. Kapilevich, B.Y., Ogourtsov, S.G., Belenky, V.G., Maslenikov, A.B. and Abbas S.O. 2000. Accurate Microwave Resonant Method for Complex Permittivity Measurements of Liquids, *IEEE Transaction on Microwave Theory and Techniques*, 48(11): 2159–2164.
43. Jyh, S. 2008. A dielectric resonator method of measuring dielectric properties of low loss materials in the microwave region. *Measurement Science and Technology*, 19: 1-11.
44. Jyh, S. 2009. Measurements of microwave dielectric properties by an amended cavity perturbation technique. *Measurement*, 42: 57–61.
45. Hajian, M., Mathew, K.T. and Ligthart, L.P. 1999. Measurements of complex permittivity with wave-guide resonator using perturbation technique. *Microwave and Optical Technology Letters*, 21(4), May 20, 1999: 269-272.
46. Achmad M., Ananto E.P. and Mohammad R.E. 2012. Cavity reflection-transmission-perturbation method for foliage relative permittivity measurement. *IEEE International Symposium on Radio-Frequency Integration Technology (RFIT)*: 213-215.
47. Raad A.A. 2011. The cavity perturbation method for the measurement of the dielectric properties of (polystyrene/carbon black) composite, *Journal of Basrah Researches (Sciences)*, 37(1), February 15, 2011: 1-7.